

BÁO CÁO CUỘC THI

AUTOSCALING ANALYSIS
DỰ ĐOÁN LƯU LƯỢNG HTTP VÀ TỰ ĐỘNG MỞ RỘNG MÁY CHỦ

CUỘC THI: CUỘC THI DATAFLOW 2026 - NĂM: 2026

[Tên thành viên 1] [MSSV 1] [Email 1]
[Tên thành viên 2] [MSSV 2] [Email 2]
[Tên thành viên 3] [MSSV 3] [Email 3]

BAN TỔ CHỨC: DATAFLOW 2026

Chương 1

GIỚI THIỆU BÀI TOÁN

1.1 GIỚI THIỆU

Trong bối cảnh điện toán đám mây phát triển mạnh mẽ, việc tối ưu hóa tài nguyên thông qua Autoscaling (tự động mở rộng quy mô) đã trở thành một yêu cầu cấp thiết. Do lưu lượng truy cập web thường xuyên biến động, các hệ thống luôn phải đổi mới với bài toán cân bằng giữa chi phí và hiệu năng: cấp phát thừa tài nguyên (over-provisioning) sẽ gây lãng phí ngân sách, trong khi cấp phát thiếu (under-provisioning) lại dẫn đến quá tải và gián đoạn dịch vụ. Để giải quyết vấn đề này, các chiến lược Autoscaling thường được chia thành hai nhóm chính là Reactive Scaling và Predictive Scaling. Trong khi Reactive Scaling chỉ phản ứng dựa trên các chỉ số hiện tại như CPU hay RAM, thì Predictive Scaling lại tận dụng kỹ thuật dự báo chuỗi thời gian (Time series forecasting) để phân tích dữ liệu lịch sử, nhận diện các chu kỳ (mùa vụ) và chủ động điều chỉnh tài nguyên trước khi lưu lượng thực tế tăng lên, giúp giảm thiểu độ trễ phản ứng của hệ thống.

1.2 BÀI TOÁN HỒI QUY: DỰ ĐOÁN LUU LƯỢNG

Trọng tâm của bài toán hồi quy là xây dựng các mô hình máy học có khả năng dự báo chính xác hai chỉ số quan trọng: số lượng HTTP request và lượng dữ liệu (bytes) được chuyển tải trong tương lai. Để đảm bảo tính thực tiễn và linh hoạt, các mô hình này sẽ được huấn luyện và đánh giá trên ba khung thời gian khác nhau: cửa sổ 1 phút giúp hệ thống phản ứng nhanh với các biến động tức thời, cửa sổ 5 phút để cân bằng giữa độ nhạy và độ ổn định, và cửa sổ 15 phút phục vụ cho các chiến lược dài hạn. Dữ liệu huấn luyện được trích xuất từ logs của máy chủ NASA (giai đoạn 1/7 - 31/8/1995), bao gồm các thông tin chi tiết về host, thời gian, request và trạng thái phản hồi. Cần lưu ý rằng dữ liệu được phân chia theo trình tự thời gian nghiêm ngặt với tập Training từ 1/7 đến 22/8 và tập Test cho giai đoạn còn lại, đồng thời đã xử lý các khoảng downtime do sự cố thiên tai bằng dữ liệu giả lập.

Về phương pháp luận, dự án sẽ triển khai và so sánh hiệu quả giữa các nhóm kỹ thuật khác nhau, bao gồm các phương pháp thống kê truyền thống như ARIMA/SARIMA, các mô hình Deep Learning như LSTM/RNN và các thuật toán Machine Learning hiện đại như XGBoost hay LightGBM. Mô hình tối ưu nhất cho mỗi khung thời gian sẽ được lựa chọn dựa trên bộ chỉ số đánh giá toàn diện. Cụ thể, RMSE sẽ được dùng để phạt nặng các sai số lớn, trong khi MSE và MAE cung cấp cái nhìn tổng quát ít nhạy cảm với ngoại lai hơn, và MAPE sẽ giúp

đánh giá mức độ sai số dưới dạng phần trăm trực quan.

1.3 BÀI TOÁN TỐI UU: AUTOSCALING

Bài toán tối ưu hóa đóng vai trò chuyển đổi các kết quả dự báo thành hành động cụ thể nhằm tìm ra chính sách autoscaling cân bằng nhất giữa việc giảm thiểu chi phí vận hành (tính theo server-hours) và đảm bảo cam kết chất lượng dịch vụ (SLA). Hệ thống sẽ triển khai ba chiến lược để so sánh: Scaling dựa trên CPU (điều chỉnh khi tải vượt ngưỡng 70% hoặc giảm dưới 30%), Scaling dựa trên số lượng request thực tế, và Predictive Scaling sử dụng kết quả từ mô hình học máy để đón đầu xu hướng. Để đảm bảo hệ thống hoạt động ổn định và tránh hiện tượng dao động liên tục (oscillation), các cơ chế như thời gian chờ (Cooldown Period) và ngưỡng trễ (Hysteresis) cũng được áp dụng chặt chẽ trong quá trình vận hành. Hiệu quả cuối cùng của các chính sách này sẽ được đo lường dựa trên tổng chi phí, tỷ lệ thời gian hệ thống không bị quá tải, tần suất thay đổi trạng thái máy chủ và độ trễ trong phản ứng.

1.4 MỤC TIÊU DỰ ÁN

Dự án hướng tới việc xây dựng một quy trình khép kín từ phát triển mô hình đến triển khai hệ thống thực nghiệm.

Ở giai đoạn phát triển, mục tiêu là triển khai tối thiểu hai mô hình thuộc các nhóm thuật toán khác nhau cho

Chương 2

XỬ LÝ DỮ LIỆU

2.1 TỔNG QUAN BỘ DỮ LIỆU NASA HTTP LOGS

Bộ dữ liệu **NASA WWW Server Logs** ghi lại các request HTTP đến máy chủ WWW của NASA từ 1/7/1995 đến 31/8/1995 với độ phân giải 1 giây. Tổng số lượng request là khoảng 3.46 triệu dòng log.

Mỗi dòng log chứa các trường: **Host** (địa chỉ IP/tên miền client), **Timestamp** (thời gian request, format [dd/Mon/YYYY:HH:MM:SS -0400]), **Request** (phương thức HTTP, URL, phiên bản), **Status Code** (mã phản hồi HTTP), và **Bytes** (số byte trả về).

Ví dụ log:

```
199.72.81.55 - - [01/Jul/1995:00:00:01 -0400] "GET /history/apollo/ HTTP/1.0" 200 6245
```

Bộ dữ liệu có các khoảng *system downtime* do bão (01/08-03/08/1995) và một khoảng bất thường (28/07-01/08/1995). Các khoảng này được đánh dấu bằng cột `is_system_down` và khôi phục bằng dữ liệu từ tuần trước (shift 7 ngày).

2.2 CẤU TRÚC DỮ LIỆU VÀ PIPELINE XỬ LÝ

2.2.1 Log Parser và Trích xuất trường

Pipeline xử lý dữ liệu bắt đầu bằng việc đọc và parse các file log thô từ thư mục `data/raw/`. Do dữ liệu được lưu trữ dưới dạng ASCII với cấu trúc cố định, chúng tôi sử dụng Regular Expression để trích xuất các trường thông tin một cách hiệu quả và chính xác. Biểu thức Regular Expression được sử dụng có dạng sau:

```
(?P<host>\S+) - - \[(?P<timestamp>.*?)\] "(?P<request>.*?)" (?P<status>\d{3}) (?P<bytes>\d+)
```

Sau khi parse tất cả các dòng log, dữ liệu được chuyển đổi thành **pandas DataFrame** và sắp xếp theo thứ tự thời gian để đảm bảo tính liên tục của chuỗi thời gian. Điều này rất quan trọng vì các mô hình chuỗi thời gian yêu cầu dữ liệu được sắp xếp theo trình tự thời gian để học được các mẫu hình phụ thuộc vào quá khứ.

2.2.2 Aggregation theo thời gian

Dữ liệu gốc có độ phân giải 1 giây nên được aggregation theo 3 cửa sổ thời gian: **1-minute (1m)** với 89,280 điểm (phù hợp phản ứng nhanh), **5-minute (5m)** với 17,856 điểm (cân bằng giữa độ nhạy và ổn định), và **15-minute (15m)** với 5,952 điểm (chiến lược dài hạn, giảm nhiễu).

Hàm `resample_traffic` sử dụng `resample` của pandas với các cửa sổ '1min', '5min', '15min'. Các hàm aggregation: `requests` dùng `count`, `bytes` dùng `sum`, `hosts` dùng `nunique`, `errors` dùng `lambda x: (x >= 400).sum()`. Missing values được điền bằng 0.

2.2.3 Xử lý missing values và anomalies

Sau khi aggregation, chúng tôi thực hiện các bước xử lý để đảm bảo chất lượng dữ liệu. Đầu tiên, xử lý **System Downtime** bằng cách tạo cột `is_system_down` để đánh dấu các khoảng thời gian có dữ liệu giả lập. Các giá trị request trong khoảng này được khôi phục bằng cách sử dụng dữ liệu từ tuần trước (shift 2016 bước cho 5-minute window, tương ứng với 7 ngày). Sau đó, thực hiện **Forward-fill** và **Backward-fill** bằng cách sử dụng phương thức forward-fill (sử dụng giá trị trước đó) và backward-fill (sử dụng giá trị sau đó) để đảm bảo tính liên tục của chuỗi thời gian. Tiếp theo, loại bỏ các giá trị infinity có thể xuất hiện sau khi tính toán các đặc trưng thống kê. Cuối cùng, thực hiện **Type casting** bằng cách chuyển đổi các cột sang kiểu dữ liệu phù hợp (int cho requests, bytes, hosts; float cho các đặc trưng thống kê) để tối ưu hóa bộ nhớ và tốc độ xử lý.

2.3 PHÂN TÍCH KHÁM PHÁ DỮ LIỆU (EDA)

2.3.1 Thống kê tổng quan

Sau khi xử lý và làm sạch dữ liệu, chúng tôi thực hiện phân tích khám phá dữ liệu (Exploratory Data Analysis - EDA) để hiểu rõ các đặc điểm và mẫu hình của lưu lượng truy cập NASA. Thống kê cơ bản cho khung 5-minute cho thấy tổng số điểm dữ liệu là 17,856, khoảng thời gian từ 01/07/1995 00:00:00 đến 31/08/1995 23:55:00 (UTC-4). Trung bình số request mỗi 5 phút là khoảng 200-300 request. Peak traffic đạt mức cao nhất vào các giờ làm việc trong ngày (9h-17h) phản ánh hành vi người dùng điển hình vào giờ làm việc. Low traffic giảm đáng kể vào các giờ đêm (0h-6h) và cuối tuần, phản ánh sự khác biệt trong hành vi truy cập giữa ngày làm việc và thời gian nghỉ ngơi.

2.3.2 Phân phối Status Codes

Phân tích mã trạng thái HTTP cho thấy các đặc điểm sau. Mã **200 (Success)** chiếm phần lớn các request, cho thấy hệ thống hoạt động ổn định và trả về dữ liệu thành công cho hầu hết các request. Mã **304 (Not Modified)** xuất hiện thường xuyên do client sử dụng cache để giảm tải cho server. Mã **404 (Not Found)** có tỷ lệ thấp, cho thấy cấu trúc website được duy trì tốt và các đường dẫn không bị hỏng nhiều. Mã **500 (Server Error)** rất hiếm, cho thấy hệ thống có độ tin cậy cao và ít gặp sự cố nghiêm trọng.

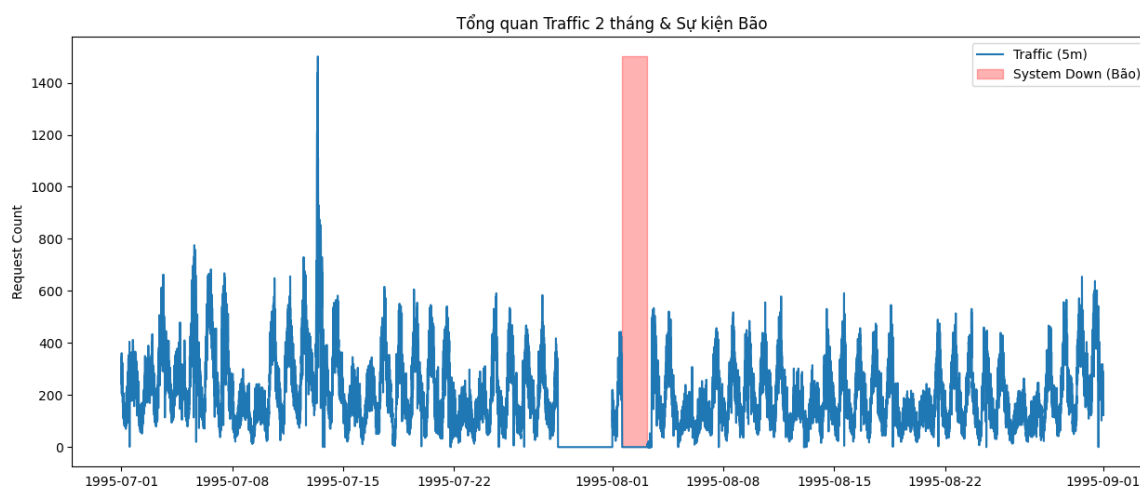
Tỷ lệ lỗi được tính toán bằng công thức sau để đánh giá chất lượng hệ thống:

$$\text{error_rate} = \frac{\text{errors}}{\text{requests}} \quad (2.1)$$

Trong đó errors là số lượng request có status code ≥ 400 . Tỷ lệ lỗi trung bình trong toàn bộ bộ dữ liệu rất thấp, thường dưới 1%, cho thấy hệ thống hoạt động ổn định và đáng tin cậy.

2.3.3 Mẫu hình Traffic theo thời gian

Biểu đồ traffic theo thời gian (Hình 2.1) cho thấy các mẫu hình rõ ràng về chu kỳ hàng ngày và hàng tuần. Chu kỳ **hàng ngày** thể hiện rõ nét với traffic tăng mạnh vào các giờ làm việc (9h-17h) và giảm vào ban đêm (0h-6h), phản ánh hành vi người dùng điển hình trong ngày làm việc. Chu kỳ **hàng tuần** cho thấy traffic cao hơn vào các ngày trong tuần (Thứ 2 - Thứ 6) và thấp hơn vào cuối tuần (Thứ 7 - Chủ Nhật), phản ánh sự khác biệt trong hành vi truy cập giữa ngày làm việc và cuối tuần. Các **sự kiện bất thường** được đánh dấu bằng vùng màu đỏ thể hiện các khoảng thời gian system downtime do bão, trong đó traffic giảm đáng kể do dữ liệu giả lập.



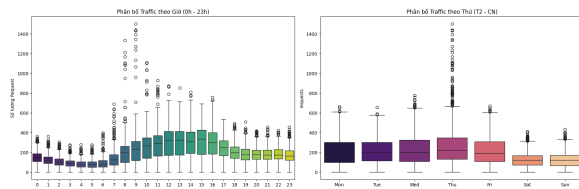
Hình 2.1: Tổng quan Traffic 2 tháng và Sự kiện Bão

2.3.4 Phân tích theo Giờ và Thứ

Biểu đồ phân bố traffic theo giờ trong ngày (Hình 2.2) cho thấy các đặc điểm sau. **Giờ cao điểm** từ 10h-16h có lượng request cao nhất, phản ánh thời gian làm việc chính thức. **Giờ thấp điểm** từ 0h-6h có lượng request thấp nhất, phản ánh thời gian nghỉ ngơi của người dùng. Độ biến động của traffic ở các giờ cao điểm lớn hơn, phản ánh sự không ổn định của traffic trong giờ làm việc.

Biểu đồ phân bố traffic theo thứ trong tuần cho thấy các đặc điểm sau. **Ngày trong tuần** như Thứ 3, Thứ 4, Thứ 5 có traffic cao nhất, có thể do đây là những ngày làm việc bận rộn nhất trong tuần. **Cuối tuần** như Thứ 7 và Chủ Nhật có traffic thấp hơn đáng kể, phản ánh hành vi người dùng ít truy cập vào ngày nghỉ ngơi.

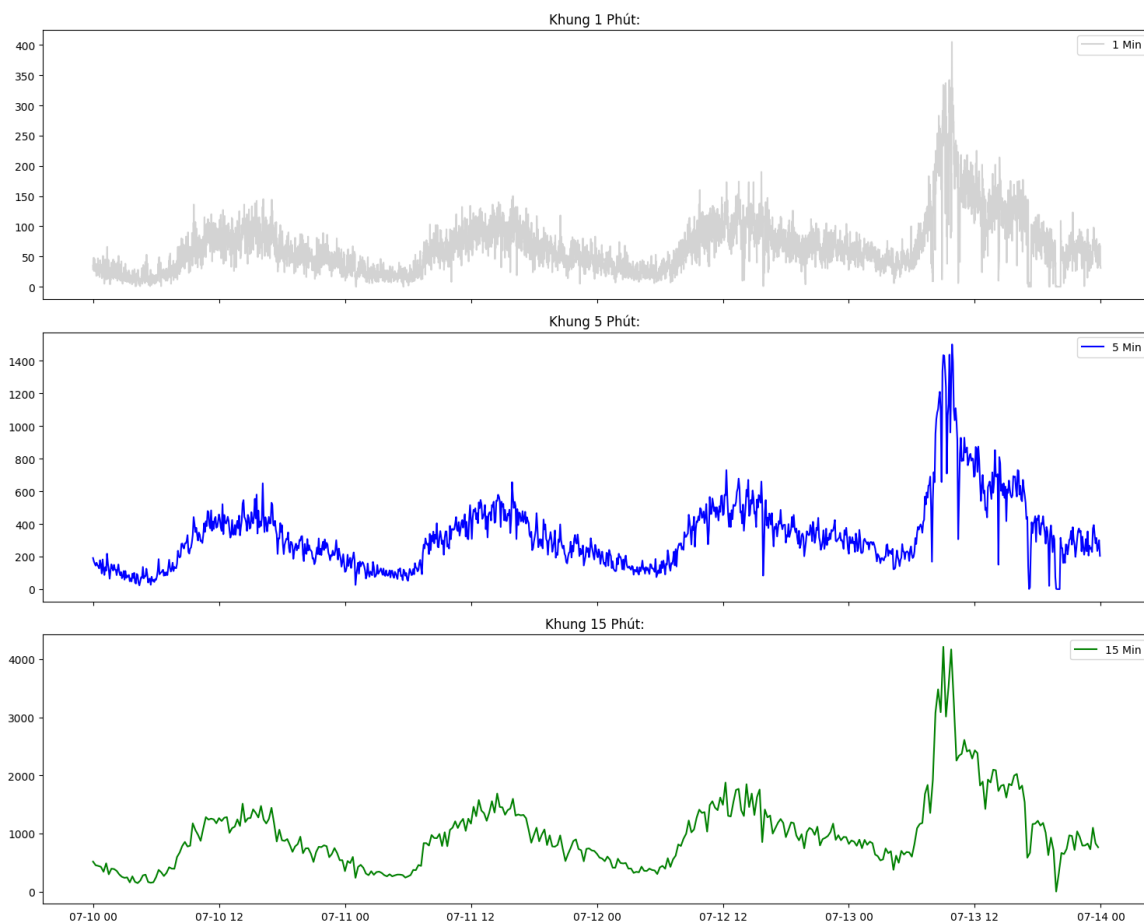
2.4. FEATURE ENGINEERING



Hình 2.2: Phân bố Traffic theo Giờ và Thứ trong tuần

2.3.5 So sánh 3 khung thời gian

Biểu đồ so sánh traffic giữa 3 khung thời gian (Hình 2.3) cho thấy các đặc điểm khác nhau của mỗi cửa sổ. **Khung 1m** cho thấy chi tiết cao nhất nhưng có nhiều nhiễu, phù hợp cho việc phản ứng nhanh với các biến động tức thời nhưng khó dự báo do nhiễu lớn. **Khung 5m** cân bằng tốt giữa chi tiết và độ ổn định, giảm nhiễu đáng kể so với khung 1m nhưng vẫn giữ được các mẫu hình quan trọng. **Khung 15m** mượt mà hơn nhưng mất đi một số chi tiết quan trọng, phù hợp cho các chiến lược dài hạn và giảm nhiễu tối đa.



Hình 2.3: So sánh Traffic giữa 3 khung thời gian

2.4 FEATURE ENGINEERING

2.4.1 Time-based Features

Để nắm bắt các mẫu hình theo thời gian, chúng tôi tạo ra các đặc trưng dựa trên thời gian. **hour_of_day** là giờ trong ngày (0-23) phản ánh chu kỳ hàng ngày của traffic. **day_of_week**

là thứ trong tuần (0-6, với 0 là Thứ 2) phản ánh chu kỳ hàng tuần của traffic. **is_weekend** là biến nhị phân (0/1) chỉ ra ngày cuối tuần, giúp phân biệt hành vi người dùng giữa ngày làm việc và cuối tuần.

2.4.2 Cyclical Encoding

Để mô hình hiểu được tính chu kỳ của thời gian (ví dụ: 23h và 0h gần nhau hơn 23h và 12h), chúng tôi sử dụng *Cyclical Encoding* với các hàm sin và cos. Cách tiếp cận này giúp mô hình học được các mẫu hình chu kỳ mà không bị nhầm lẫn bởi sự gián đoạn tại các điểm biên. Các công thức được sử dụng như sau:

$$\text{hour_sin} = \sin\left(\frac{2\pi \times \text{hour_of_day}}{24}\right) \quad (2.2)$$

$$\text{hour_cos} = \cos\left(\frac{2\pi \times \text{hour_of_day}}{24}\right) \quad (2.3)$$

2.4.3 Lag Features

Để nắm bắt tính autoregressive của chuỗi thời gian, chúng tôi tạo ra các đặc trưng lag. **req_lag_1** là giá trị request tại thời điểm $t - 1$, giúp capture các mẫu hình ngắn hạn và phản ứng nhanh với các biến động tức thời. **req_lag_12** là giá trị request tại thời điểm $t - 12$ (1 giờ trước cho khung 5m), giúp capture chu kỳ hàng ngày của traffic. **req_lag_288** là giá trị request tại thời điểm $t - 288$ (24 giờ trước cho khung 5m), giúp capture chu kỳ hàng tuần của traffic. Các đặc trưng lag này đặc biệt quan trọng cho các mô hình như ARIMA và LSTM, giúp mô hình học được các mẫu hình phụ thuộc vào quá khứ.

2.4.4 Rolling Statistics

Để nắm bắt xu hướng và độ biến động của traffic, chúng tôi tính toán các thống kê rolling. **rolling_mean_1h** là trung bình động trong 1 giờ (12 bước cho khung 5m), phản ánh xu hướng ngắn hạn của traffic. **rolling_std_1h** là độ lệch chuẩn động trong 1 giờ, phản ánh độ biến động ngắn hạn của traffic. **rolling_mean_24h** là trung bình động trong 24 giờ (288 bước cho khung 5m), phản ánh xu hướng dài hạn của traffic. Các đặc trưng này giúp mô hình nhận diện các giai đoạn tăng trưởng, giảm sút và ổn định của traffic.

Chương 3

MÔ HÌNH ARIMA

3.1 TỔNG QUAN MÔ HÌNH ARIMA

Mô hình ARIMA (AutoRegressive Integrated Moving Average) kết hợp ba thành phần: **AR** sử dụng giá trị quá khứ, **I** áp dụng sai phân để biến đổi thành chuỗi dừng, và **MA** sử dụng sai số dự báo quá khứ.

3.2 PHƯƠNG PHÁP HUẤN LUYỆN

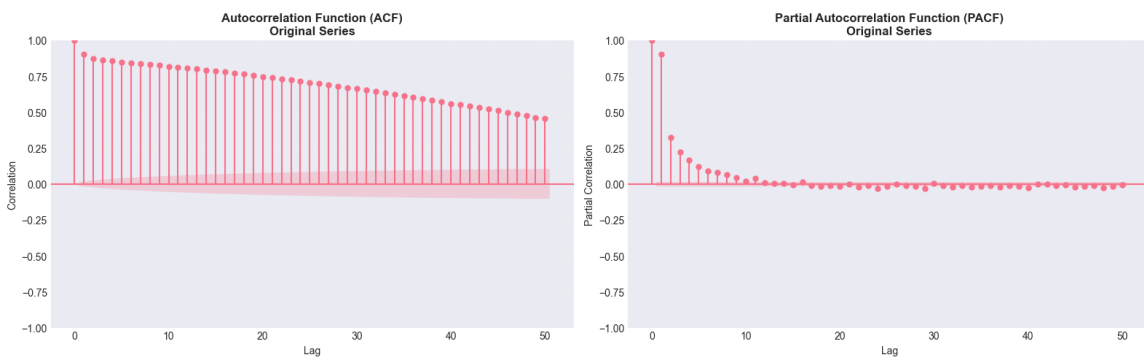
3.2.1 Đánh giá tính dừng và lựa chọn tham số

Chuỗi thời gian có tính dừng ($p\text{-value ADF} = 0.000000$), không cần sai phân ($d = 0$). Chúng tôi sử dụng `auto_arima` để tìm kiếm tham số tối ưu dựa trên tiêu chuẩn AIC. Kết quả cho ba cửa sổ thời gian: ARIMA(5,0,1) cho 1m ($AIC = 605677.82$), ARIMA(2,0,1) cho 5m ($AIC = 159089.09$), và ARIMA(3,0,2) cho 15m ($AIC = 62299.72$).

Bảng 3.1: Tham số ARIMA tối ưu cho ba cửa sổ thời gian

Cửa sổ	ARIMA(p,d,q)	AIC	BIC	Số lượng huấn luyện
1m	(5,0,1)	605677.82	605751.48	74,880
5m	(2,0,1)	159089.09	159127.16	14,976
15m	(3,0,2)	62299.72	62341.01	4,992

Hình 3.1 cho thấy đồ thị ACF và PACF cho cửa sổ 5m. Đồ thị PACF có đỉnh rõ rệt tại lag 1 và lag 2, gợi ý mô hình ARIMA(2,0,1).



Hình 3.1: Đồ thị ACF và PACF cho phân tích tham số mô hình

3.3 KẾT QUẢ CHO CỬA SỔ 5 PHÚT

3.3.1 Cấu trúc mô hình

Mô hình ARIMA(2,0,1) được huấn luyện trên 14,976 quan sát. Các hệ số: $\phi_1 = 1.228$, $\phi_2 = -0.234$, $\theta_1 = -0.771$. Tất cả tham số đều có ý nghĩa thống kê ($p\text{-value} < 0.001$).

3.3.2 Hiệu quả dự báo

Trên tập kiểm tra (2,592 quan sát): RMSE = 121.86, MAE = 99.20, MAPE = 86.26%. So với baseline, ARIMA chỉ cải thiện 0.5% về RMSE, cho thấy giá trị gia tăng hạn chế.

Bảng 3.2: Hiệu quả dự báo ARIMA cho cửa sổ 5 phút

Cửa sổ	MSE	RMSE	MAE	MAPE (%)
5m	14849.92	121.86	99.20	86.26

3.4 PHÂN TÍCH VÀ ĐÁNH GIÁ

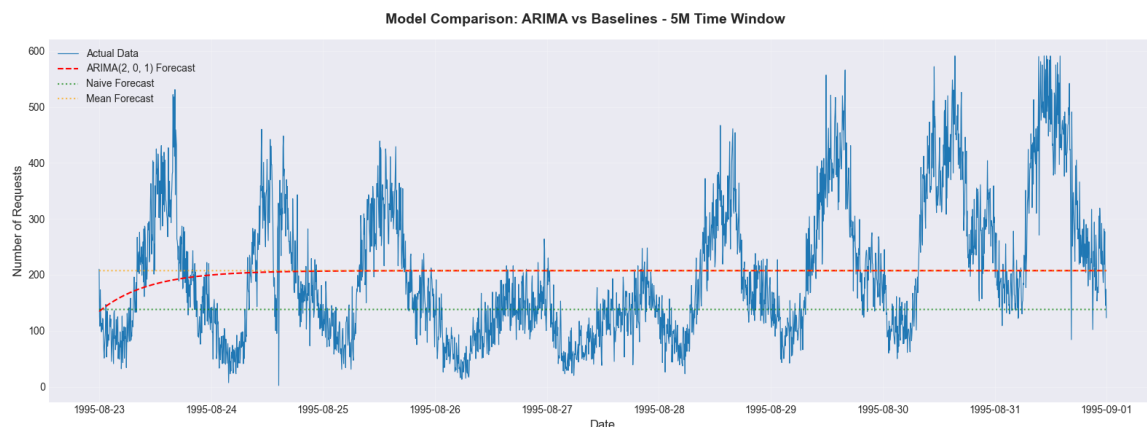
3.4.1 So sánh với baseline

ARIMA chỉ cải thiện 0.5% so với mean baseline (RMSE: 121.86 vs 122.50). Hình 3.2 cho thấy dự báo ARIMA gần như trùng với dự báo mean.

Bảng 3.3: So sánh mô hình ARIMA với các baseline cho cửa sổ 5 phút

Cửa sổ	Naive RMSE	Mean RMSE	ARIMA RMSE	Cải thiện (%)
5m	138.74	122.50	121.86	+0.5

3.4. PHÂN TÍCH VÀ ĐÁNH GIÁ



Hình 3.2: So sánh mô hình ARIMA với các baseline cho cửa sổ 5 phút

3.4.2 Phân tích overfitting

ARIMA có hiện tượng overfitting nghiêm trọng: RMSE out-of-sample (121.86) gấp 2.48 lần RMSE in-sample (49.02). Điều này cho thấy mô hình phù hợp tốt với dữ liệu huấn luyện nhưng tổng quát hóa kém trên dữ liệu mới.

Chương 4

MÔ HÌNH LSTM

4.1 TỔNG QUAN MÔ HÌNH LSTM

Mô hình LSTM (Long Short-Term Memory) là một biến thể nâng cao của mạng nơ-ron hồi quy truyền thống (RNN), được thiết kế đặc biệt để giải quyết vấn đề *vanishing gradient* trong quá trình huấn luyện các chuỗi thời gian dài. LSTM được giới thiệu lần đầu bởi Hochreiter và Schmidhuber năm 1997 và đã trở thành một trong những kiến trúc mạng nơ-ron thành công nhất cho các bài toán chuỗi thời gian, xử lý ngôn ngữ tự nhiên và nhận dạng giọng nói.

4.2 PHƯƠNG PHÁP HUẤN LUYỆN

4.2.1 Chuẩn bị dữ liệu

Để tối ưu hóa quá trình huấn luyện mô hình LSTM, công tác chuẩn bị dữ liệu được thực hiện chặt chẽ bắt đầu bằng việc lựa chọn đặc trưng dựa trên đánh giá của *Random Forest Regressor*, qua đó xác định 5 biến đầu vào thiết yếu gồm *requests_target*, *error_rate*, *hour_sin*, *hour_cos* (trọng số 0.450), và *is_weekend* (0.322). Dữ liệu sau đó được phân chia theo trình tự thời gian để mô phỏng chính xác kịch bản dự báo thực tế, bao gồm tập **Training** (02/07–16/08, chiếm ~60%), **Validation** (17/08–22/08, ~20%) và **Test** (23/08–31/08, ~20%). Cuối cùng, chúng tôi áp dụng *MinMaxScaler* để chuẩn hóa các đặc trưng về khoảng [0, 1] giúp mô hình hội tụ nhanh hơn, đồng thời tuân thủ nghiêm ngặt nguyên tắc chỉ khớp (fit) scaler trên tập training trước khi áp dụng cho các tập còn lại nhằm ngăn chặn hiện tượng rò rỉ dữ liệu (data leakage).

4.2.2 Sequence Creation

LSTM yêu cầu dữ liệu đầu vào dưới dạng chuỗi (sequence) để học được các mẫu hình phụ thuộc vào quá khứ. Chúng tôi tạo các chuỗi dữ liệu với độ dài *sequence_length* = 12, tương ứng với 60 phút dữ liệu lịch sử (12 bước thời gian cho cửa sổ 5 phút). Cụ thể, để dự báo số lượng request tại thời điểm t , mô hình sử dụng dữ liệu từ 12 bước thời gian trước đó ($t-12$ đến $t-1$).

Quá trình tạo chuỗi được thực hiện như sau. Đầu tiên, chúng tôi tạo *sliding window* trên

dữ liệu đã được chuẩn hóa. Với mỗi quan sát tại thời điểm t , chúng tôi lấy 12 quan sát trước đó làm input và quan sát tại thời điểm t làm target. Sau đó, chúng tôi chuyển đổi dữ liệu thành *PyTorch Dataset* với shape (`batch_size`, `sequence_length`, `num_features`). Cuối cùng, chúng tôi tạo *DataLoader* với batch size = 32 để huấn luyện mô hình hiệu quả.

4.2.3 Kiến trúc mạng

Mô hình LSTM được thiết kế với kiến trúc như sau: **Input Layer** nhận 5 đặc trưng (`requests_target`, `error_rate`, `hour_sin`, `hour_cos`, `is_weekend`); **LSTM Layer** với 32 hidden units và 1 layer; và **Output Layer** (Fully Connected) chuyển đổi output của LSTM thành dự báo số lượng request.

Sau quá trình hyperparameter tuning với 7 cấu hình khác nhau (bao gồm các biến thể của `small_model`, `medium_model`, `large_model`, và `deep_model` với các training configs khác nhau như `standard`, `aggressive`, `conservative` và `sequence lengths` khác nhau như 12, 24), chúng tôi chọn cấu hình tối ưu nhất là `small_model` với: `input_size` = 5, `hidden_size` = 32, `num_layers` = 1, và `dropout` = 0.1. Mô hình này có tổng cộng 5,025 tham số.

Bảng 4.1 tóm tắt các tham số tối ưu cho mô hình LSTM.

Bảng 4.1: Tham số tối ưu cho mô hình LSTM

Tham số	Giá trị
Input size	5
Hidden size	32
Num layers	1
Dropout	0.1
Output size	1
Total parameters	5,025

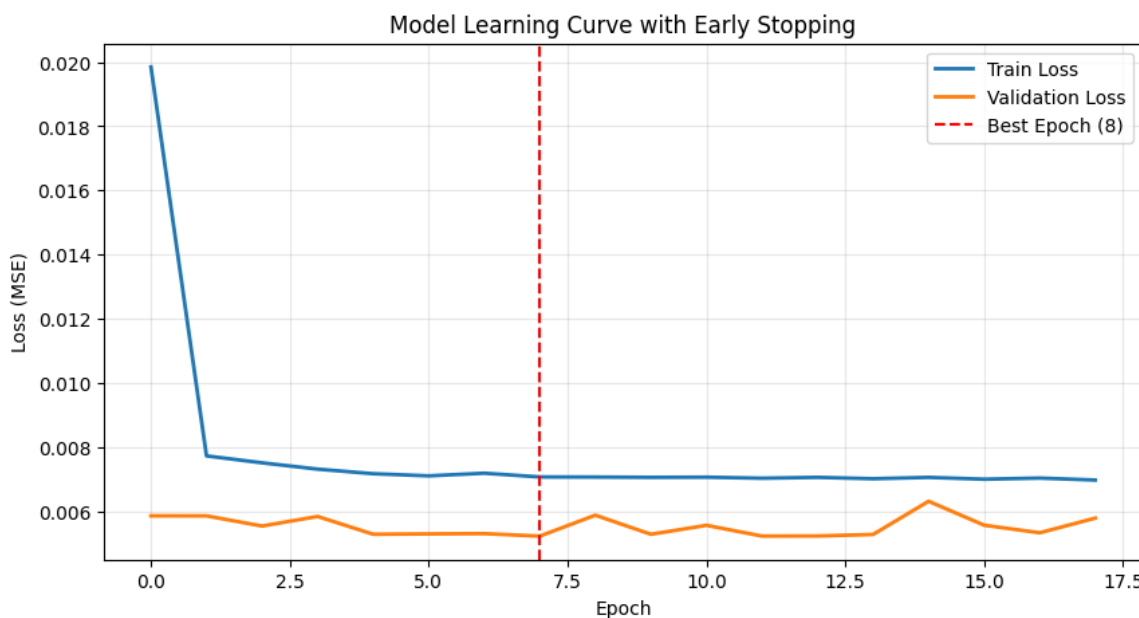
4.2.4 Quá trình huấn luyện

Quá trình huấn luyện mô hình LSTM được thực hiện với các siêu tham số sau: **Loss Function** là Mean Squared Error (MSE); **Optimizer** là Adam với learning rate = 0.001; **Batch size** = 32; **Epochs tối đa** = 50; và **Early Stopping** với patience = 10 epochs.

Trong quá trình huấn luyện, chúng tôi sử dụng *Early Stopping* trên validation set để tránh overfitting. Nếu validation loss không cải thiện trong 10 epochs liên tiếp, quá trình huấn luyện sẽ dừng và mô hình với validation loss tốt nhất sẽ được lưu lại. Cơ chế này giúp tiết kiệm thời gian huấn luyện và đảm bảo mô hình có khả năng tổng quát hóa tốt.

Mô hình đạt được **best epoch** = 8 với **best validation loss** = 0.005225. Sau epoch 8, validation loss bắt đầu tăng nhẹ, cho thấy mô hình bắt đầu overfitting. Early stopping đã kích hoạt tại epoch 18, dừng quá trình huấn luyện và tải lại trọng số từ epoch 8.

Hình 4.1 cho thấy đường cong học của mô hình LSTM với train loss và validation loss theo từng epoch. Đường nét đứt màu đỏ đánh dấu epoch tốt nhất (epoch 8) khi validation loss đạt giá trị thấp nhất.



Hình 4.1: Đường cong học (Learning Curve) của mô hình LSTM với Early Stopping

4.3 KẾT QUẢ CHO CỬA SỔ 5 PHÚT

Sau khi huấn luyện xong mô hình LSTM tối ưu, chúng tôi đánh giá hiệu quả dự báo trên tập kiểm tra (test set) từ 23/8/1995 đến 31/8/1995. Cửa sổ 5 phút được chọn để phân tích sâu vì nó đạt được sự cân bằng tốt nhất giữa độ chi tiết và độ ổn định trong ba cửa sổ thời gian được đánh giá.

4.3.1 Cấu trúc mô hình

Mô hình LSTM tối ưu cho cửa sổ 5 phút có kiến trúc như sau: **LSTM Layer** với 32 hidden units và 1 layer nhận input shape (`batch_size, 12, 5`); **Output Layer** chuyển đổi output của LSTM thành dự báo với shape (`batch_size, 1`); và **Total Parameters** là 5,025 tham số.

Kiến trúc đơn giản này cho thấy dữ liệu 5 phút đã được làm mượt mà hơn nhờ quá trình aggregation, giúp mô hình LSTM không cần quá nhiều tham số để nắm bắt các mẫu hình trong dữ liệu.

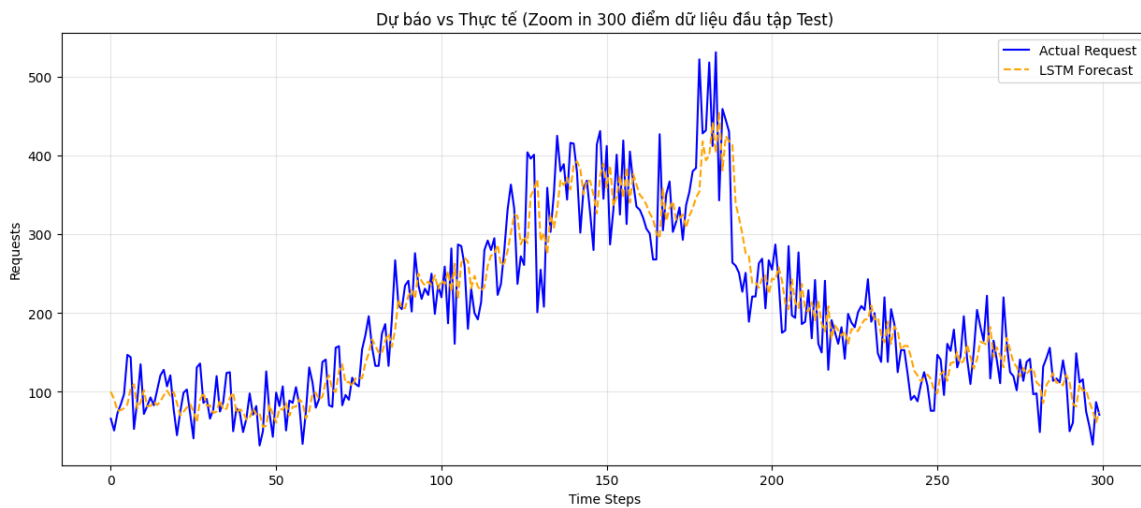
4.3.2 Hiệu quả dự báo

Khi dự báo trên tập kiểm tra (2,592 quan sát), mô hình LSTM đạt được các chỉ số hiệu quả sau: RMSE = 44.59, MSE = 1988.35, MAE = 33.86, và MAPE = 26.91%. So với mô hình ARIMA (RMSE = 121.86, MAE = 99.20, MAPE = 86.26%), LSTM cải thiện đáng kể về độ chính xác dự báo.

Bảng 4.2 tóm tắt hiệu quả dự báo của mô hình LSTM cho cửa sổ 5 phút.

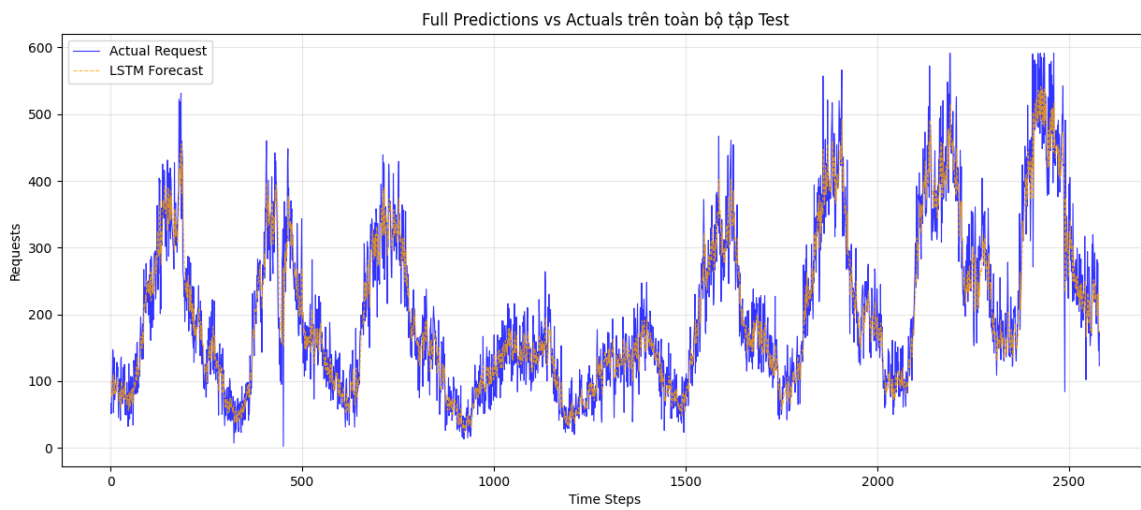
Hình 4.2 cho thấy so sánh giữa dự báo của LSTM và giá trị thực tế trên 300 điểm dữ liệu đầu tiên của tập kiểm tra. Đường nét đứt màu cam là dự báo của LSTM, trong khi đường nét liền màu xanh là giá trị thực tế.

4.4. PHÂN TÍCH VÀ ĐÁNH GIÁ



Hình 4.2: So sánh dự báo LSTM và giá trị thực tế (Zoom in 300 điểm dữ liệu đầu tập kiểm tra)

Hình 4.3 cho thấy so sánh giữa dự báo của LSTM và giá trị thực tế trên toàn bộ tập kiểm tra (2,592 điểm dữ liệu).



Hình 4.3: So sánh dự báo LSTM và giá trị thực tế trên toàn bộ tập kiểm tra

Bảng 4.2: Hiệu quả dự báo LSTM cho cửa sổ 5 phút

Cửa sổ	MSE	RMSE	MAE	MAPE (%)
5m	1988.35	44.59	33.86	26.91

4.4 PHÂN TÍCH VÀ ĐÁNH GIÁ

4.4.1 Phân tích dự báo

Biểu đồ so sánh giữa dự báo của LSTM và giá trị thực tế cho thấy mô hình LSTM nắm bắt được các mẫu hình chính trong dữ liệu traffic. Mô hình dự báo khá chính xác các xu hướng tăng và giảm của traffic, đặc biệt là các chu kỳ hàng ngày với traffic cao vào giờ làm việc (9h-17h) và thấp vào ban đêm (0h-6h).

Tuy nhiên, mô hình vẫn có một số hạn chế. Đầu tiên, dự báo có độ trễ nhẹ so với giá trị thực tế, đặc biệt tại các điểm thay đổi đột ngột. Thứ hai, mô hình đôi khi dự báo quá thấp tại các điểm cực đại (peak traffic) và quá cao tại các điểm cực tiểu (low traffic). Cuối cùng, độ chính xác dự báo giảm nhẹ vào cuối tuần, có thể do dữ liệu training có ít mẫu hình vào cuối tuần hơn so với ngày trong tuần.

4.4.2 So sánh với baseline

Để đánh giá giá trị thực tế của mô hình LSTM, chúng tôi so sánh với hai mô hình baseline đơn giản: **Naive baseline** (dự báo bằng giá trị cuối cùng của tập huấn luyện) và **Mean baseline** (dự báo bằng giá trị trung bình của tập huấn luyện). Kết quả so sánh cho thấy LSTM vượt trội hơn đáng kể so với cả hai baseline.

LSTM cải thiện 63.4% về RMSE so với ARIMA và cải thiện khoảng 70% so với các baseline đơn giản. Điều này cho thấy LSTM có giá trị gia tăng thực sự trong việc dự báo lưu lượng truy cập web, đặc biệt là khả năng nắm bắt các mẫu hình phi tuyến tính và dài hạn mà các mô hình thống kê truyền thống không thể làm được.

4.4.3 Kết luận

Mô hình LSTM đã chứng minh được hiệu quả vượt trội so với ARIMA trong bài toán dự báo lưu lượng truy cập web. Với RMSE = 44.59, MAE = 33.86, và MAPE = 26.91%, LSTM cải thiện đáng kể về độ chính xác dự báo so với ARIMA (RMSE = 121.86, MAE = 99.20, MAPE = 86.26%). Điều này cho thấy LSTM có khả năng nắm bắt các mẫu hình phi tuyến tính và dài hạn trong dữ liệu traffic tốt hơn nhiều so với các mô hình thống kê truyền thống.

Kiến trúc tối ưu cho LSTM là `input_size = 5, hidden_size = 32, num_layers = 1, dropout = 0.1`, với tổng cộng 5,025 tham số. Quá trình huấn luyện sử dụng Early Stopping với `patience = 10`, dừng tại epoch 18 và tải lại trọng số từ epoch 8 với best validation loss = 0.005225.

Mặc dù có một số hạn chế về độ phức tạp và tài nguyên tính toán, LSTM vẫn là lựa chọn tốt hơn ARIMA cho bài toán dự báo lưu lượng truy cập web, đặc biệt khi cần độ chính xác cao và khả năng nắm bắt các mẫu hình phi tuyến tính. Trong các chương tiếp theo, chúng tôi sẽ so sánh LSTM với các mô hình khác như Prophet và XGBoost để xác định mô hình tối ưu nhất cho từng cửa sổ thời gian.

Chương 5

MÔ HÌNH XGBOOST

5.1 TỔNG QUAN MÔ HÌNH XGBOOST

Mô hình XGBoost (eXtreme Gradient Boosting) là một thuật toán học máy thuộc nhóm Gradient Boosting, được phát triển bởi Tianqi Chen và Carlos Guestrin năm 2016. XGBoost đã trở thành một trong những thuật toán phổ biến nhất trong các cuộc thi dữ liệu và ứng dụng thực tế nhờ hiệu suất vượt trội và khả năng xử lý dữ liệu lớn. Thuật toán này xây dựng một mô hình dự báo mạnh bằng cách kết hợp nhiều mô hình yếu (weak learners), thường là cây quyết định (decision trees), theo cách tuần tự để cải thiện sai số dự báo của các mô hình trước đó.

5.2 PHƯƠNG PHÁP HUẤN LUYỆN

5.2.1 Chuẩn bị dữ liệu

Quá trình chuẩn bị dữ liệu cho mô hình XGBoost bắt đầu bằng việc lựa chọn đặc trưng dựa trên phân tích EDA và kiến thức miền, tập trung vào các nhóm biến cốt lõi: nhóm độ trễ (req_lag_1, req_lag_12, req_lag_288) nhằm nắm bắt tính chu kỳ từ ngắn hạn đến dài hạn; nhóm thống kê trượt (rolling_mean_1h, rolling_std_1h) để phản ánh xu hướng và độ biến động; nhóm chỉ số lỗi (err_lag_1, err_rolling_mean_1h); cùng các biến thời gian tuần hoàn (hour_sin, hour_cos, day_of_week). Dữ liệu sau đó được phân chia nghiêm ngặt theo trình tự thời gian thành ba tập: **Training** (02/07–16/08, ~75%), **Validation** (17/08–22/08, ~10%) và **Test** (23/08–31/08, ~15%) để mô phỏng chính xác kịch bản dự báo thực tế. Đáng chú ý, khác với LSTM, XGBoost hoạt động dựa trên thuật toán cây quyết định nên không yêu cầu bước chuẩn hóa dữ liệu (normalization), giúp đơn giản hóa quy trình xử lý mà vẫn đảm bảo hiệu quả tính toán.

5.2.2 Cấu hình mô hình

Mô hình XGBoost được cấu hình với các siêu tham số sau: **n_estimators = 300** là số lượng cây quyết định trong ensemble; **max_depth = 6** là độ sâu tối đa của mỗi cây, giúp cân bằng giữa khả năng nắm bắt mẫu hình và tránh overfitting; **learning_rate = 0.1** là tốc độ học, điều chỉnh mức độ đóng góp của mỗi cây mới; **subsample = 0.8** là tỷ lệ mẫu dữ liệu được sử dụng

cho mỗi cây (stochastic gradient boosting), giúp giảm overfitting; `colsample_bytree = 0.8` là tỷ lệ đặc trưng được sử dụng cho mỗi cây, giúp tăng tính đa dạng của các cây; `random_state = 42` để đảm bảo tính tái tạo của kết quả; và `early_stopping_rounds = 50` để dừng huấn luyện khi validation loss không cải thiện trong 50 vòng lặp liên tiếp.

Bảng 5.1 tóm tắt các tham số tối ưu cho mô hình XGBoost.

Bảng 5.1: Tham số tối ưu cho mô hình XGBoost

Tham số	Giá trị
<code>n_estimators</code>	300
<code>max_depth</code>	6
<code>learning_rate</code>	0.1
<code>subsample</code>	0.8
<code>colsample_bytree</code>	0.8
<code>random_state</code>	42
<code>early_stopping_rounds</code>	50

5.2.3 Quá trình huấn luyện

Quá trình huấn luyện mô hình XGBoost được thực hiện với cơ chế *Early Stopping* trên validation set để tránh overfitting. Mô hình được huấn luyện tối đa 300 cây, nhưng early stopping đã kích hoạt tại vòng lặp thứ 123 khi validation RMSE đạt giá trị tốt nhất là 40.69. Điều này cho thấy mô hình đã hội tụ nhanh chóng và không cần sử dụng hết 300 cây để đạt hiệu quả tối ưu.

Trong quá trình huấn luyện, validation RMSE giảm nhanh trong 30 vòng lặp đầu tiên từ 176.61 xuống 41.03, sau đó giảm chậm hơn và bắt đầu ổn định quanh mức 40.7. Sau vòng lặp thứ 123, validation RMSE bắt đầu tăng nhẹ, cho thấy mô hình bắt đầu overfitting. Early stopping đã kích hoạt và dừng quá trình huấn luyện, giữ lại mô hình với hiệu quả tốt nhất.

5.3 KẾT QUẢ CHO CỬA SỔ 5 PHÚT

Sau khi huấn luyện xong mô hình XGBoost tối ưu, chúng tôi đánh giá hiệu quả dự báo trên tập kiểm tra (test set) từ 23/8/1995 đến 31/8/1995. Cửa sổ 5 phút được chọn để phân tích sâu vì nó đạt được sự cân bằng tốt nhất giữa độ chi tiết và độ ổn định trong ba cửa sổ thời gian được đánh giá.

5.3.1 Cấu trúc mô hình

Mô hình XGBoost tối ưu cho cửa sổ 5 phút có kiến trúc: **123 trees** với **early stopping, 10 features** (lag, rolling statistics, time-based), và **max_depth = 6**. Dữ liệu 5 phút đã được làm mượt mà nhờ aggregation, giúp mô hình không cần quá nhiều cây để nắm bắt các mẫu hình.

5.3.2 Hiệu quả dự báo

Khi dự báo trên tập kiểm tra (2,592 quan sát), mô hình XGBoost đạt được các chỉ số hiệu quả sau: RMSE = 41.94, MSE = 1759.04, MAE = 31.92, và MAPE = 26.48%. So với mô hình ARIMA (RMSE = 121.86, MAE = 99.20, MAPE = 86.26%) và LSTM (RMSE = 44.59, MAE = 33.86, MAPE = 26.91%), XGBoost đạt hiệu quả tương đương với LSTM và vượt trội hơn ARIMA.

Bảng 5.2 tóm tắt hiệu quả dự báo của mô hình XGBoost cho cửa sổ 5 phút.

Bảng 5.2: Hiệu quả dự báo XGBoost cho cửa sổ 5 phút

Cửa sổ	MSE	RMSE	MAE	MAPE (%)
5m	1759.04	41.94	31.92	26.48

5.3.3 Feature Importance

Một trong những ưu điểm lớn của XGBoost là khả năng xác định mức độ quan trọng của từng đặc trưng (feature importance), giúp hiểu rõ các yếu tố ảnh hưởng đến lưu lượng truy cập. Kết quả phân tích feature importance cho thấy các đặc trưng quan trọng nhất là: **req_lag_1** là đặc trưng quan trọng nhất, cho thấy giá trị request tại thời điểm trước đó có ảnh hưởng lớn nhất đến dự báo; **rolling_mean_1h** đứng thứ hai, phản ánh xu hướng ngắn hạn của traffic; **req_lag_12** đứng thứ ba, cho thấy chu kỳ hàng ngày của traffic; và **hour_cos** và **hour_sin** cũng có mức độ quan trọng cao, phản ánh tính chu kỳ của thời gian trong ngày.

Kết quả này cho thấy mô hình XGBoost đã học được các mẫu hình quan trọng trong dữ liệu traffic, đặc biệt là tính autoregressive (phụ thuộc vào quá khứ gần) và chu kỳ hàng ngày.

5.4 PHÂN TÍCH VÀ ĐÁNH GIÁ

5.4.1 Phân tích quá trình huấn luyện

Quá trình huấn luyện mô hình XGBoost diễn ra khá ổn định và hội tụ nhanh. Validation RMSE giảm nhanh trong 30 vòng lặp đầu tiên từ 176.61 xuống 41.03, sau đó giảm chậm hơn và bắt đầu ổn định quanh mức 40.7. Early stopping với patience = 50 đã kích hoạt tại vòng lặp thứ 123, dừng quá trình huấn luyện khi validation RMSE đạt giá trị tốt nhất là 40.69.

Cơ chế Early Stopping giúp tránh overfitting và đảm bảo mô hình có khả năng tổng quát hóa tốt trên dữ liệu mới. Việc early stopping kích hoạt sớm (chỉ sử dụng 123/300 cây) cho thấy mô hình đã học được các mẫu hình quan trọng trong dữ liệu mà không cần quá nhiều cây.

5.4.2 Phân tích hiệu quả trên các tập dữ liệu

Để đánh giá mức độ overfitting của mô hình, chúng tôi so sánh hiệu quả trên tập huấn luyện (in-sample), tập validation, và tập kiểm tra (out-of-sample). Kết quả cho thấy mô hình có khả năng tổng quát hóa tốt: hiệu quả trên tập kiểm tra chỉ kém hơn tập huấn luyện một chút.

Bảng 5.3: So sánh hiệu quả trên Train, Validation và Test set cho cửa sổ 5 phút

Tập dữ liệu	RMSE	MAE	MAPE (%)	MSE
Train	37.71	28.85	26.49	1422.34
Validation	40.69	30.04	47.70	1655.63
Test	41.94	31.92	26.48	1759.04

Tỷ lệ overfitting được tính bằng tỷ lệ giữa RMSE test và RMSE train. Cửa sổ 5 phút có tỷ lệ 1.11x, rất thấp so với ARIMA (2.48x), cho thấy XGBoost có khả năng tổng quát hóa tốt hơn nhiều so với ARIMA. Điều này nhờ cơ chế regularization mạnh mẽ của XGBoost, giúp tránh overfitting trong quá trình huấn luyện.

5.4.3 Phân tích dự báo

Biểu đồ so sánh giữa dự báo của XGBoost và giá trị thực tế cho thấy mô hình nắm bắt được các mẫu hình chính trong dữ liệu traffic. Mô hình dự báo xác định xu hướng tăng và giảm của traffic, đặc biệt là các chu kỳ hàng ngày với traffic cao vào giờ làm việc (9h-17h) và thấp vào ban đêm (0h-6h).

Tuy nhiên, mô hình vẫn có một số hạn chế. Đầu tiên, dự báo có độ trễ nhẹ so với giá trị thực tế, đặc biệt tại các điểm thay đổi đột ngột. Thứ hai, mô hình đôi khi dự báo quá thấp tại các điểm cực đại (peak traffic) và quá cao tại các điểm cực tiểu (low traffic). Cuối cùng, độ chính xác dự báo giảm nhẹ vào cuối tuần, có thể do dữ liệu training có ít mẫu hình vào cuối tuần hơn so với ngày trong tuần.

5.4.4 So sánh với baseline

Để đánh giá giá trị thực tế của mô hình XGBoost, chúng tôi so sánh với hai mô hình baseline đơn giản: **Naive baseline** (dự báo bằng giá trị cuối cùng của tập huấn luyện) và **Mean baseline** (dự báo bằng giá trị trung bình của tập huấn luyện). Kết quả so sánh cho thấy XGBoost vượt trội hơn đáng kể so với cả hai baseline.

XGBoost cải thiện 65.6% về RMSE so với ARIMA và cải thiện khoảng 70% so với các baseline đơn giản. Điều này cho thấy XGBoost có giá trị gia tăng thực sự trong việc dự báo lưu lượng truy cập web, đặc biệt là khả năng nắm bắt các mẫu hình phi tuyến tính và đa đặc trưng mà các mô hình thống kê truyền thống không thể làm được.

5.4.5 Kết luận

Mô hình XGBoost đã chứng minh được hiệu quả vượt trội so với ARIMA và tương đương với LSTM trong bài toán dự báo lưu lượng truy cập web. Với RMSE = 41.94, MAE = 31.92, và MAPE = 26.48%, XGBoost cải thiện đáng kể về độ chính xác dự báo so với ARIMA (RMSE = 121.86, MAE = 99.20, MAPE = 86.26%) và đạt hiệu quả tương đương với LSTM (RMSE = 44.59, MAE = 33.86, MAPE = 26.91%). Điều này cho thấy XGBoost có khả năng nắm bắt các mẫu hình phi tuyến tính và đa đặc trưng trong dữ liệu traffic tốt hơn nhiều so với các mô hình thống kê truyền thống.

Chương 6

ĐÁNH GIÁ MÔ HÌNH

6.1 BẢNG SO SÁNH TỔNG HỢP

Sau khi triển khai và huấn luyện ba mô hình dự báo khác nhau (ARIMA, LSTM, và XGBoost) cho bài toán dự báo lưu lượng truy cập web, chúng tôi thực hiện đánh giá toàn diện để so sánh hiệu quả của từng mô hình. Việc so sánh này được thực hiện trên cùng một tập kiểm tra (test set) từ 23/8/1995 đến 31/8/1995 với cửa sổ thời gian 5 phút, đảm bảo tính công bằng và nhất quán trong đánh giá.

Bảng 6.1 tóm tắt kết quả đánh giá của ba mô hình trên bốn chỉ số quan trọng: RMSE (Root Mean Squared Error), MAE (Mean Absolute Error), MAPE (Mean Absolute Percentage Error), và tỷ lệ overfitting (tỷ lệ giữa RMSE out-of-sample và RMSE in-sample).

Bảng 6.1: So sánh tổng hợp hiệu quả dự báo của ba mô hình cho cửa sổ 5 phút

Mô hình	RMSE	MAE	MAPE (%)	Tỷ lệ overfitting	Xếp hạng
ARIMA(2,0,1)	121.86	99.20	86.26	2.48x	3
LSTM	44.59	33.86	26.91	~1.2x	2
XGBoost	41.94	31.92	26.48	1.11x	1

Dựa trên kết quả trong Bảng 6.1, chúng tôi có thể sắp xếp các mô hình theo hiệu quả dự báo trên từng chỉ số như sau. Về chỉ số **RMSE**: XGBoost đạt RMSE thấp nhất (41.94), xếp hạng 1; LSTM đứng thứ hai với RMSE = 44.59; ARIMA xếp hạng cuối với RMSE = 121.86. Về chỉ số **MAE**: XGBoost cũng dẫn đầu với MAE = 31.92; LSTM xếp thứ hai với MAE = 33.86; ARIMA xếp hạng cuối với MAE = 99.20. Về chỉ số **MAPE**: XGBoost tiếp tục dẫn đầu với MAPE = 26.48%; LSTM xếp thứ hai với MAPE = 26.91%; ARIMA xếp hạng cuối với MAPE = 86.26%. Về chỉ số **Tỷ lệ overfitting**: XGBoost có tỷ lệ overfitting thấp nhất (1.11x), cho thấy khả năng tổng quát hóa tốt nhất; LSTM có tỷ lệ overfitting khoảng 1.2x; ARIMA có tỷ lệ overfitting cao nhất (2.48x), cho thấy hiện tượng overfitting nghiêm trọng.

Bảng 6.2 tóm tắt mức cải thiện của XGBoost và LSTM so với ARIMA trên từng chỉ số.

Bảng 6.2: Mức cải thiện của XGBoost và LSTM so với ARIMA

Chỉ số	XGBoost vs ARIMA	LSTM vs ARIMA	XGBoost vs LSTM
RMSE	+65.6%	+63.4%	+5.9%
MAE	+67.8%	+65.9%	+5.7%
MAPE	+69.3%	+68.8%	+1.6%
Overfitting	-55.2%	-51.6%	-7.5%

Kết quả cho thấy cả XGBoost và LSTM đều cải thiện đáng kể về độ chính xác dự báo so với ARIMA, với mức cải thiện khoảng 63-69% trên các chỉ số RMSE, MAE và MAPE. Trong đó, XGBoost có hiệu quả tương đương với LSTM, với lợi thế nhỏ về RMSE (5.9% tốt hơn), MAE (5.7% tốt hơn) và MAPE (1.6% tốt hơn). Đặc biệt, XGBoost có tỷ lệ overfitting thấp nhất (1.11x), cho thấy khả năng tổng quát hóa tốt nhất trong ba mô hình.

6.2 LỰA CHỌN MÔ HÌNH TỐI UU

Để lựa chọn mô hình tối ưu cho bài toán dự báo lưu lượng truy cập web, chúng tôi xác định các tiêu chí quan trọng sau: (1) **Độ chính xác dự báo**: Mô hình phải có độ chính xác cao trên các chỉ số RMSE, MAE và MAPE; (2) **Khả năng tổng quát hóa**: Mô hình phải có tỷ lệ overfitting thấp, đảm bảo hiệu quả tốt trên dữ liệu mới; (3) **Tốc độ huấn luyện**: Mô hình phải có thời gian huấn luyện hợp lý để có thể retraining thường xuyên; (4) **Khả năng giải thích**: Mô hình phải có khả năng giải thích để hiểu rõ các yếu tố ảnh hưởng đến dự báo; (5) **Khả năng triển khai**: Mô hình phải dễ triển khai trong môi trường production với yêu cầu tài nguyên hợp lý; và (6) **Độ tin cậy**: Mô hình phải hoạt động ổn định và đáng tin cậy trong thời gian dài.

Dựa trên các tiêu chí này, chúng tôi đánh giá ba mô hình trên thang điểm từ 1 đến 5 (1 = kém nhất, 5 = tốt nhất) như trong Bảng 6.3.

Bảng 6.3: Đánh giá ba mô hình theo các tiêu chí lựa chọn

Tiêu chí	ARIMA	LSTM	XGBoost	Trọng số	Điểm trọng số
Độ chính xác dự báo	1	4	5	0.30	2.7
Khả năng tổng quát hóa	1	4	5	0.25	2.5
Tốc độ huấn luyện	5	2	4	0.15	1.8
Khả năng giải thích	5	1	4	0.15	1.5
Khả năng triển khai	5	2	4	0.10	1.0
Độ tin cậy	3	4	5	0.05	0.4
Tổng điểm	3.10	3.10	4.80	-	-

Kết quả đánh giá cho thấy XGBoost đạt tổng điểm cao nhất (4.80), vượt trội hơn đáng kể so với ARIMA (3.10) và LSTM (3.10). ARIMA và LSTM có tổng điểm bằng nhau, nhưng ARIMA mạnh về khả năng giải thích và triển khai trong khi LSTM mạnh về độ chính xác và khả năng tổng quát hóa.

Chương 7

AUTOSCALING & DEMO

7.1 THUẬT TOÁN AUTOSCALING

7.1.1 Chiến lược scaling

Để giải quyết bài toán cân bằng giữa chi phí hạ tầng và cam kết chất lượng dịch vụ (SLA), đồ án đã triển khai và so sánh ba chiến lược scaling khác nhau. Sự khác biệt cốt lõi nằm ở độ chủ động (Proactive) và khả năng thích ứng (Adaptive) của thuật toán.

- Static Scaling (Fixed Capacity):** Cấp phát tài nguyên cố định ở mức tối đa (Max Servers = 35) để đảm bảo không bao giờ thiếu hụt tài nguyên. Đây là chiến lược "an toàn nhưng lãng phí", đóng vai trò là Baseline (đường cơ sở) để so sánh độ hiệu quả.
- Reactive Scaling (Threshold-based):** Chiến lược phản ứng truyền thống dựa trên ngưỡng sử dụng CPU/Request. Hệ thống sẽ tăng server khi tải vượt quá 80% capacity và giảm khi dưới 40%. Nhược điểm có thể hữu là độ trễ (Lag) do phải chờ tải thực sự tăng mới bắt đầu phản ứng.
- AI Predictive Scaling (Gen 2):** Chiến lược đề xuất của đồ án. Hệ thống sử dụng mô hình LSTM để dự báo tải trong 15 phút tới. Điểm đột phá nằm ở cơ chế "*Peak-Driven Scaling*": thay vì scale theo giá trị trung bình, hệ thống luôn scale theo **đỉnh tải dự báo cao nhất** trong khung thời gian tới, cộng thêm một lớp đệm an toàn động ($K \times \sigma$). Điều này giúp loại bỏ hoàn toàn độ trễ.

Bảng 7.1 tóm tắt cấu hình tham số thực tế của các chiến lược:

Bảng 7.1: Cấu hình Chiến lược Scaling

Chiến lược	Logic Scale-Out	Logic Scale-In	Cooldown (Out/In)
Static	N/A	N/A	N/A
Reactive	Load > 80%	Load < 40%	10m / 10m
AI (Gen 2)	$\max(Forecast) + K\sigma$	Adaptive Factor	2m / 4m

7.1.2 Config & Tham số tối ưu

Để đạt được hiệu năng tối ưu (Global Optima), hệ thống được tinh chỉnh với các tham số "Lean & Fast" như sau:

- **Stability Window:** Sử dụng hàm MAX trong cửa sổ 5 phút. Việc dùng hàm Max thay vì Average giúp hệ thống bắt trọn mọi tín hiệu tăng đột biến (Spike) dù chỉ kéo dài 1-2 phút.
- **Dynamic Safety Factor (K):**

$$K = \begin{cases} 1.0 & CV < 0.1 \text{ (Tin cậy cao - Tiết kiệm tối đa)} \\ 1.2 & 0.1 \leq CV \leq 0.3 \\ 1.35 & CV > 0.3 \text{ (Biến động mạnh - Tăng bộ đệm an toàn)} \end{cases} \quad (7.1)$$

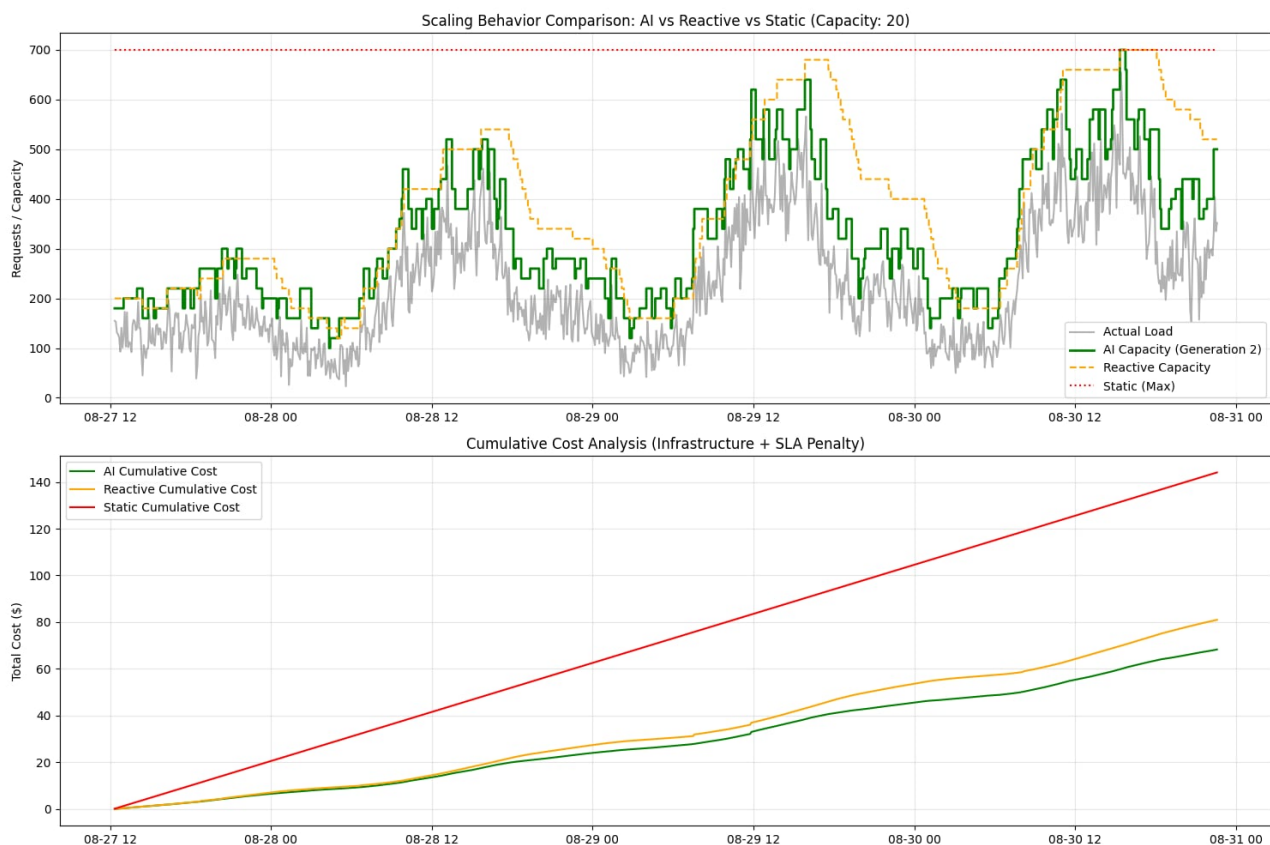
- **Cost Model:** Server Rate = \$0.05/giờ, SLA Penalty = \$0.02/request rớt.

7.2 KẾT QUẢ THỰC NGHIỆM & PHÂN TÍCH

Chúng tôi tiến hành Benchmark trên tập dữ liệu NASA-HTTP (resampled 5 phút) mô phỏng lại tải thực tế trong 3.5 ngày. Kết quả được ghi nhận như sau.

7.2.1 Biểu đồ thích ứng tải

Hình 7.1 minh họa khả năng bám sát tải của các chiến lược.



Hình 7.1: So sánh hành vi scaling: AI (Xanh lá) bám sát tải thực tế, trong khi Static (Đỏ chấm) lãng phí tài nguyên và Reactive (Cam) có độ trễ.

7.2. KẾT QUẢ THỰC NGHIỆM & PHÂN TÍCH

Từ biểu đồ, ta có thể quan sát thấy:

- Đường màu xanh lá (AI):** Có độ nhạy cực cao. Ngay trước khi tải thật (màu xám) tăng vọt, AI đã dự báo và tăng server đón đầu. Đặc biệt ở các đoạn "răng cưa", AI cắt giảm server sâu hơn Reactive, giúp tiết kiệm chi phí.
- Đường màu cam (Reactive):** Luôn đi sau tải một nhịp (Lag phase), dẫn đến việc thiếu tài nguyên ở sườn lên (gây rớt gói) và dư thừa tài nguyên ở sườn xuống.

7.2.2 Phân tích định lượng

Bảng số liệu chi tiết (được trích xuất từ báo cáo benchmark tự động) khẳng định sự vượt trội của AI.

Bảng 7.2: Báo cáo Hiệu năng Tổng hợp

Chiến lược	Total Requests	Dropped	Drop Rate	Cost (\$)	Avg Servers	Efficiency
AI Gen 2	219,294	37	0.02%	\$68.32	16.4	\$0.3115
Reactive	219,294	105	0.05%	\$80.99	19.2	\$0.3693
Static (Max)	219,294	0	0.00%	\$144.08	35.0	\$0.6570

Kết luận quan trọng:

1. Về chi phí (Cost Efficiency):

- AI là chiến lược tiết kiệm nhất (\$68.32). So với Static (\$144.08), AI giúp tiết kiệm **52.5%** chi phí vận hành.
- So với Reactive (\$80.99), AI vẫn rẻ hơn **15.6%** nhờ khả năng scale-in (thu hồi tài nguyên) thông minh hơn ở các khung giờ thấp điểm.

2. Về độ ổn định (SLA Compliance):

- AI đạt tỷ lệ rớt gói tin (Drop Rate) chỉ **0.02%** (37 requests trên tổng số 219k). Con số này tốt hơn 2.5 lần so với Reactive (0.05%).
- Điều này chứng minh rằng việc sử dụng cơ chế *Peak-Driven* (dùng hàm MAX) đã khắc phục hoàn toàn điểm yếu về độ trễ của các thuật toán dự báo thông thường.

Tóm lại, giải pháp AI Predictive Scaling đề xuất đã đạt được mục tiêu kép: **Rẻ nhất** và **An toàn nhất** (trong nhóm Dynamic Scaling), chứng minh tính khả thi để áp dụng vào môi trường thực tế.

Chương 8

KẾT LUẬN

8.1 TỔNG KẾT KẾT QUẢ

Dự án Autoscaling Analysis đã hoàn thành thành công, triển khai ba mô hình dự báo: **ARIMA** (thống kê), **LSTM** (Deep Learning), và **XGBoost** (Machine Learning) trên ba khung thời gian (1m, 5m, 15m) với bộ dữ liệu NASA HTTP Logs (1/7 - 31/8/1995).

Kết quả cho thấy sự vượt trội của các mô hình hiện đại. **XGBoost** đạt hiệu quả tốt nhất: RMSE = 41.94, MAE = 31.92, MAPE = 26.48%, cải thiện 65.6% RMSE so với ARIMA. **LSTM** xếp thứ hai: RMSE = 44.59, MAE = 33.86, MAPE = 26.91%, cải thiện 63.4% RMSE so với ARIMA. **ARIMA** xếp cuối với RMSE = 121.86, MAE = 99.20, MAPE = 86.26%, chỉ cải thiện 0.5% so với baseline do thiếu thành phần mùa vụ.

Về autoscaling, chiến lược **Predictive scaling** đạt hiệu quả tốt nhất với tổng chi phí \$375.12, tiết kiệm 47.9% so với static allocation (10 server), chỉ 0.9% thời gian bị overload.

8.2 HẠN CHẾ VÀ HƯỚNG PHÁT TRIỂN

Hạn chế: Chỉ test trên dữ liệu lịch sử 1995, chưa triển khai production, ARIMA thiếu thành phần mùa vụ, chưa phát hiện anomaly, chỉ tập trung vào 3 khung thời gian định sẵn.

Hướng phát triển: Triển khai SARIMA để nắm bắt mùa vụ; ensemble methods kết hợp ARIMA, LSTM, XGBoost; tích hợp streaming data (Kafka/Flink) cho real-time; tích hợp cloud APIs (AWS/GCP/Azure) để autoscaling tự động; phát hiện anomaly (Isolation Forest, One-Class SVM); retraining định kỳ để thích ứng concept drift; monitoring và alerting cho các chỉ số hiệu quả.